

ИНСТИТУТ ЯДЕРНОЙ ФИЗИКИ СИБИРСКОГО ОТДЕЛЕНИЯ АН СССР

препринт 99

Е. А. Абрамян, В. В. Вечеславов

Ускорение
интенсивного пучка протонов на установке
трансформаторного типа

г. Новосибирск 1967

ИНСТИТУТ ЯДЕРНОЙ ФИЗИКИ СИБИРСКОГО ОТДЕЛЕНИЯ АН СССР

БИБЛIOГРАФИЧЕСКАЯ
СТАТЬЯ

Препринт

— этого и другого видовом приводом. Второй —
это механический высокоскоростной привод из винта и ступицы с
изменением для каждого конкретного случая в зависимости от
скорости и мощности. Третий — магнитостатический привод, состоящий из
системы статоров и роторов, в которых система магнитных
полей в втулке якоря и якорь синхронно, синхро-

Е.А.Абрамян, В.В.Вечеславов введенной

УСКОРЕНИЕ ИНТЕНСИВНОГО ПУЧКА ПРОТОНОВ НА УСТАНОВКЕ
ТРАНСФОРМАТОРНОГО ТИПА

за № 1450-2260-1739-69
также № 1450-2260-1739-70

Все приведенные выше способы и способы ускорения
предназначены для низкоинтенсивных пучков протонов (до 100). И в первом
случае и во втором случае, в отличие от первого, пучки протонов не являются
однородными, а имеют определенную форму (в виде конуса /1,2/. Несмотря
на то что в первом случае пучок имеет форму конуса, он не является
однородным, т.к. в нем имеются различные зоны: зона ядра, зона периферии
и зона вспомогательных зон. В зоне ядра, где имеется наибольшая концентрация
протонов, имеется самая большая скорость, а в зоне периферии — самая малая.
В зоне вспомогательных зон имеется средняя концентрация протонов и средняя
скорость. В зоне вспомогательных зон имеется самая большая концентрация
и самая большая скорость. Поэтому в зоне вспомогательных зон имеется самая
большая концентрация и самая большая скорость. Поэтому в зоне вспомогательных
зонах имеется самая большая концентрация и самая большая скорость.

Основные причины, по которым уско-
рение пучка при помощи трансформатора, можно сказать, это следующие:
1) Трансформаторы, которые используются для ускорения
пучка, имеют недостаточную мощность, что ограничивает
скорость пучка. 2) Трансформаторы, которые используются для уско-
рения пучка, имеют недостаточную мощность, что ограничивает
скорость пучка.

Возможность получения большого тока протонов, покоящихся
на поверхности, зависит от многих факторов, включая температуру и концен-

Аннотация

Рассмотрена возможность ускорения протонов на ускорителе прямого действия на основе трансформатора. Приведены схемы источника и сильнофокусирующей системы для удержания интенсивного пучка в ускорительной трубке. Рассмотрены вопросы стабилизации энергии частиц, обеспечения рабочего вакуума в трубке, влияние тяжелых компонент пучка и др.

Приведена конструктивная схема установки для ускорения протонов до энергии около 1,5 Мэв и среднем токе пучка до 17 миллиампер.

-ций, а уравнение, в свою очередь определяющее движение частиц в поле магнитного ярма (т.е. в) включается в уравнение движения частиц в поле магнитного ярма (т.е. в). Тогда получим уравнение движения частиц в поле магнитного ярма (т.е. в).

При движении частиц в поле магнитного ярма (т.е. в) они движутся по спиральным траекториям, что определяется уравнением движения частиц в поле магнитного ярма (т.е. в). Тогда получим уравнение движения частиц в поле магнитного ярма (т.е. в).

Протоны, ускоренные до энергии несколько Мэв, используются в ядерных экспериментах, для получения нейтронных потоков, а также могут быть применены для различных прикладных целей.

Как правило, ускорение протонов до таких энергий производится в электростатических ускорителях (ЭСУ), а в последние годы в ускорителях прямого действия новых типов – динамитронах и трансформаторах с изолированным ярмом /1,2/. Наиболее существенным отличием новых установок является значительно больший предельный ток протонов – несколько миллиампер против сотен микроампер в ЭСУ. В ЭСУ токи ограничиваются, в основном, максимальным зарядом, который может переноситься механическим транспортом. В новых ускорителях максимальные токи протонов прежде всего ограничиваются появлением электронной загрузки и снижением электрической прочности трубы, а также сложностью обеспечения вакуумной откачки мощного ионного источника. В выпускаемых в настоящее время динамитронах и трансформаторах с изолированным ярмом предельные токи при ускорении электронов в несколько раз превышают предельные токи протонов.

Основные пути повышения электрической прочности ускорительной трубы при прохождении по ней интенсивных потоков тяжелых частиц – это уменьшение сечения пучка за счёт усиления фокусировки и максимальное удаление его от стенок, а также затруднение образования лавин, вызванных электронами, движущимися навстречу основному пучку.

Возможности получения большого тока протонов, ускоренных до энергии 1 Мэв и выше, рассмотрены нами применительно к ус-

корителю трансформаторного типа ЭлТ-1,5, описанному в /3/. Первые экземпляры такого ускорителя (рис. I) были созданы для ускорения электронов до энергии 1,5 Мэв и обеспечили получение пучков со средней мощностью 25 квт.

Максимальные мощность и ток пучка в шесть раз превышают средние (рис. 2а). Стабилизация ускоряющего напряжения на трубке в течение рабочего импульса осуществляется регулированием тока ускоряемого пучка с помощью управляющей сетки инжектора и системы авторегулирования, задающей потенциал на сетке. На рис. 2б приведена электрическая схема такого ускорителя. Установка питается непосредственно от сети 50 гц и число импульсов ускоренного тока составляет соответственно 50 раз в секунду. Возможна работа с меньшей частотой повторения вплоть до одиночных импульсов. Энергия электронов может изменяться от 400 кэв до 1,5 Мэв, а мощность пучка регулироваться от нуля до максимума. Стабильность установленной энергии электронов в ускорителях, предназначенных для прикладных целей, составляет около 2% и при необходимости может быть повышенена до ~0,02%. К.п.д. ускорителя достигает 90%.

Для ускорения на такой установке протонов при параметрах пучка, близких к названным выше, необходим источник с регулируемым за время импульса током до 100 миллиампер, а также система транспортировки протонов через ускорительную трубку, обеспечивающая диаметр пучка менее 2 см. Кроме того, постановка на высоковольтной части ускорителя мощного ионного источника существенно усложняет вакуумную откачуку, а наличие в пучке компонент H_2^+ и H_3^+ заставляет рассмотреть вопрос о необходимости сепарации пучка сразу после выхода его из источника. Требуется также разработать достаточно компактные системы питания и управления источником и другими устройствами, размещаемыми под высоким потенциалом.

Источник ионов и регулировка тока

Основным предъявляемым требованиям удовлетворяет ионный источник с осцилляцией электронов в магнитном поле (см., например /4/), с регулируемым током до 100 миллиампер.

На рис. 3 приведена схема экспериментального стенда с источником меньшего размера: диаметр отверстия эмиссии $\varOmega = 3$ мм и максимальный ток ~20 ма.

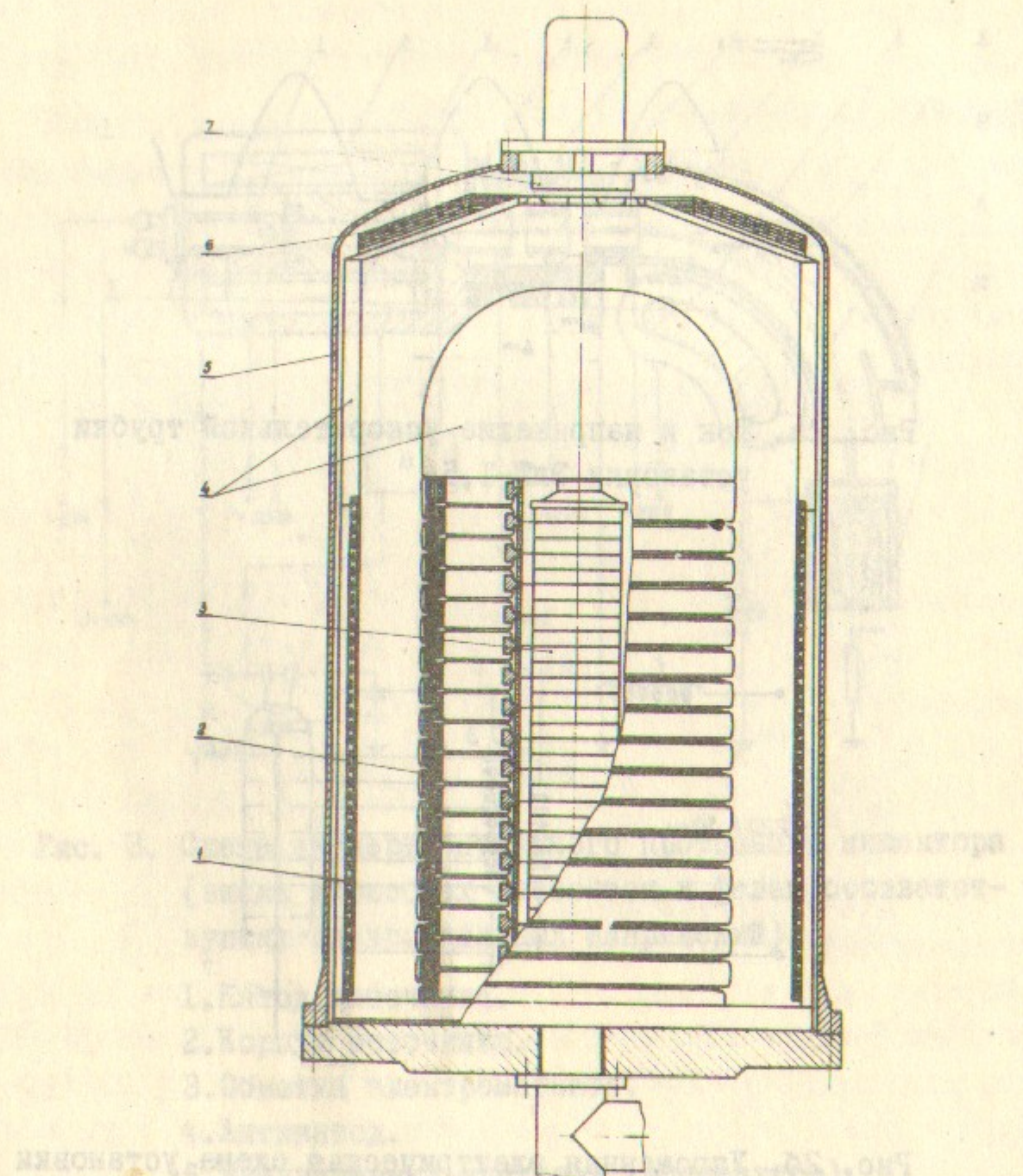


Рис. I. Схема конструкции ЭлТ-1,5.

1. Первичная обмотка трансформатора.
2. Вторичная обмотка трансформатора.
3. Ускорительная трубка.
4. Детали магнитопровода.
5. Котёл.
6. Теплообменник.
7. Вентилятор.

использован трансформаторного типа ЭлТ-1,5, имеющий в 1/3, первое звено которого рабочего трансформатора (рис. 2) имеет номинальную емкость до 100 мкФ и обмотка из

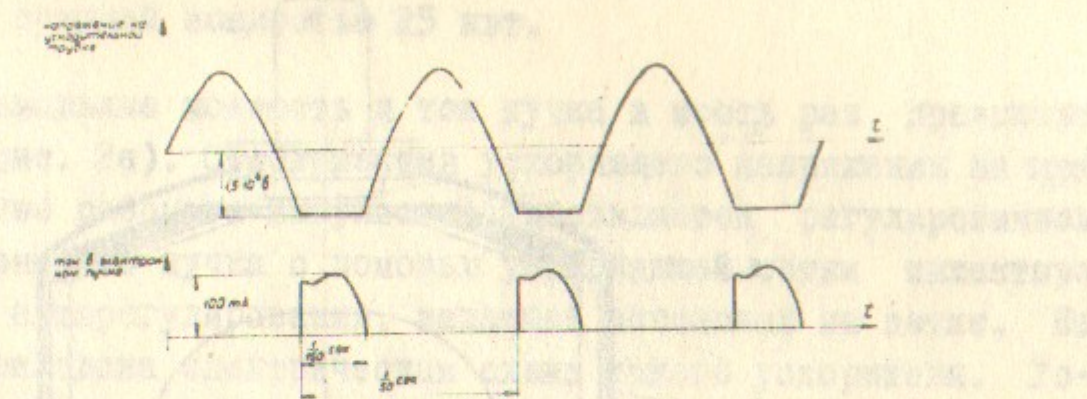


Рис. 2а. Ток и напряжение ускорительной трубки установки ЭлТ-1,5.

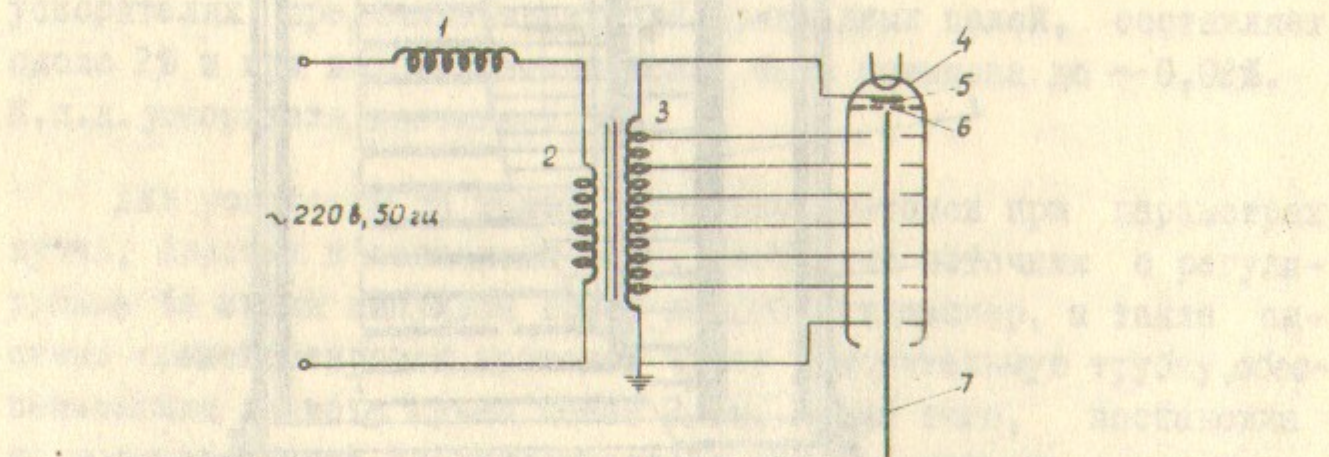


Рис. 2б. Упрощенная электрическая схема установки ЭлТ-1,5.

1. Индуктивность рассеяния первичной обмотки.
2. Первичная обмотка.
3. Вторичная обмотка.
4. Ускорительная трубка.
5. Катод инжектора.
6. Управляющая сетка инжектора.
7. Пучок ускоренных частиц.

вторичной обмотки включена в цепь катода для подавления колебаний тока (см. рис. 2б) и открытия заслонки

стартового разряда.

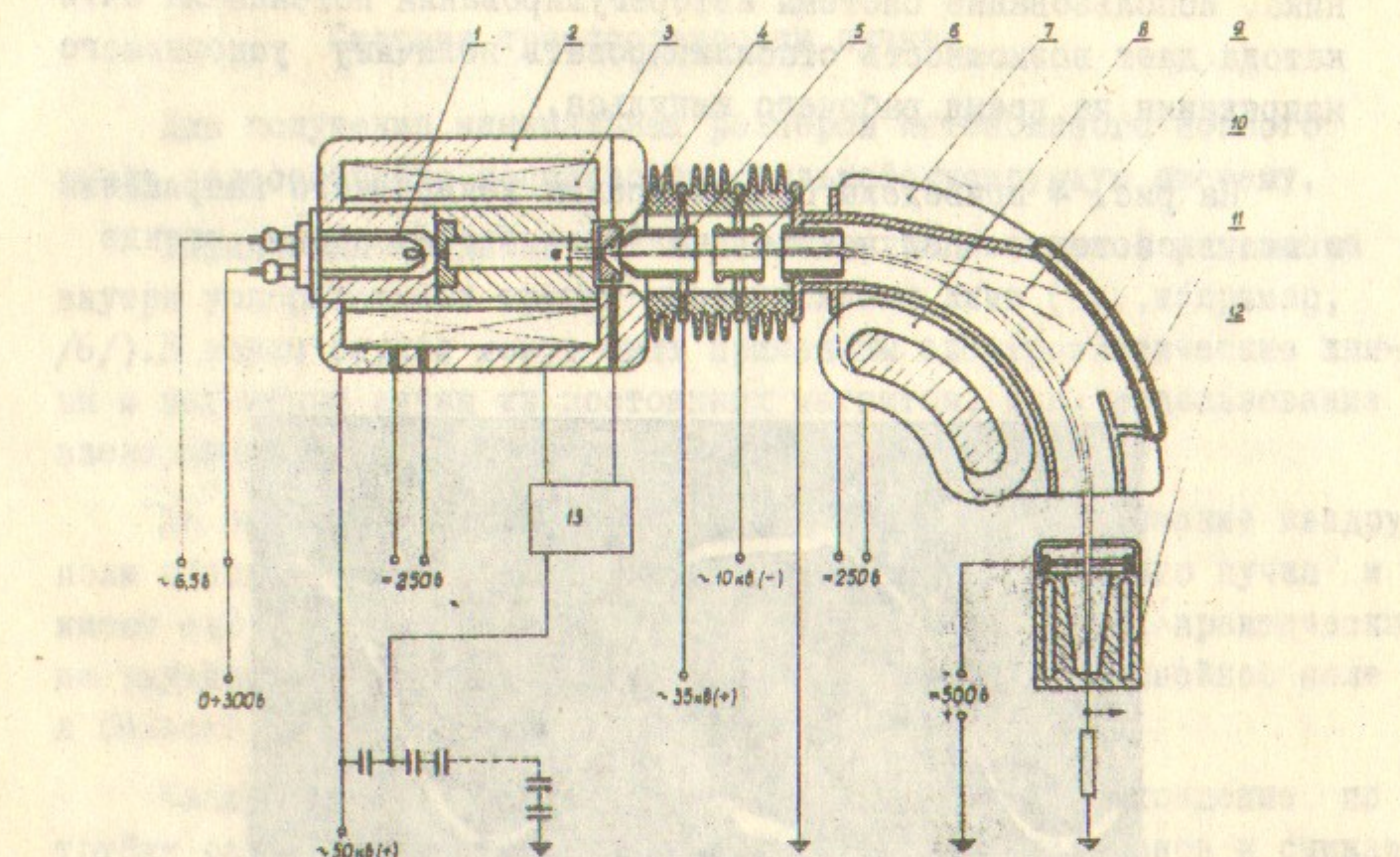


Рис. 3. Схема экспериментального протонного инжектора (знаки в скобках относятся к фазам соответствующих синусоидальных напряжений).

1. Катод источника.
2. Корпус источника.
3. Обмотка электромагнита.
4. Антикатод.
5. Вытягивающий электрод (экстрактор).
6. Электрод для запирания вторичных электронов.
7. Сепаратор.
8. Электромагнит сепаратора.
9. Тяжелые компоненты H_2^+ и H_3^+ пучка.
10. Пучок протонов.
- II. Мишень для компонент H_2^+ и H_3^+ .
12. Мишень для протонов.
13. Система авторегулирования тока источника.

Управление током осуществляется за счет изменения потенциала антикатода (поз. 4 рис. 3) по отношению к корпусу источника. Использование системы авторегулирования потенциала антикатода дает возможность стабилизировать величину ускоряющего напряжения на время рабочего импульса.

На рис. 4 приведены осциллограммы ускоряющего напряжения и импульса тока, полученные на экспериментальном стенде (рис. 5).

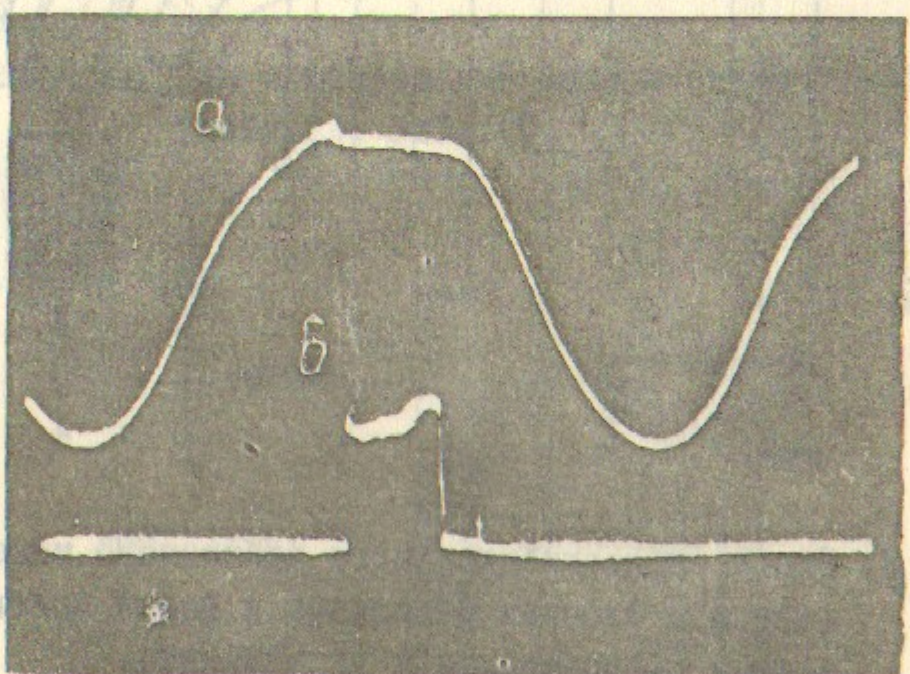


Рис. 4. Осциллограмма напряжения (а) и тока (б) экспериментального источника.

В условиях эксперимента сепаратор (поз. 7, рис. 3) позволяет установить процентное содержание протонов в пучке.

Расход газа в источнике на 100 ма составляет около 3 норм. $\text{см}^3/\text{мин}$ и откачка с земляного конца ускорительной трубы не обеспечивает необходимый вакуум в зоне источника. В связи с этим предусматривается установка на высоковольтном конце трубы сорбционно-ионного насоса типа "орбитрон" /5/. Изучается возможность подачи газа импульсами длительностью несколько большей длительности рабочих импульсов тока.

Охлаждение нагруженных в тепловом отношении узлов источника и схем питания осуществляется прокачкой масла по изоля-

ционным маслопроводам и теплообменнику, расположенному на низковольтной стороне.

Система транспортировки пучка

Для получения минимальных размеров интенсивного ионного пучка целесообразно использовать сильнофокусирующую систему.

Технически представляется наиболее рациональной установка внутри ускорительной трубы квадрупольных линз (см., например, /6/). В нашем случае могут быть применены электростатические линзы и магнитные линзы из постоянных магнитов, т.к. использование электромагнитов существенно усложняет конструкцию.

До энергий порядка нескольких Мэв электростатические квадруполи обеспечивают более сильную фокусировку протонного пучка и имеют еще ряд преимуществ по сравнению с магнитными: практически не ухудшают вакуумную откачуку, позволяют получить линейное поле в большей части апертуры, проще в исполнении.

Квадрупольный канал существенно затрудняет прохождение по трубке случайных частиц, например, вторичных электронов и снижает вероятность образования электронных лавин /7/. Этот факт вместе с ничтожным выпаданием на электроды частиц основного пучка благоприятно сказывается на электрической прочности трубы.

В рассматриваемом ускорителе электроды линз подсоединяются к отводам вторичной обмотки (рис. 5), напряжение на которой во время прохождения тока по трубке постоянно. Фокусирующие линзы чередуются с дефокусирующими (система ФОДО), длины всех линз и промежутков равны между собой $l_f = l_d = l_{\alpha_1} = l_{\alpha_2} = 3,85 \text{ см}$.

Всего на длине трубы размещено 8 периодов линз длиной $S=15,4 \text{ см}$ каждый. Амплитуда некогерентных колебаний частиц пучка $h \approx 0,8 \text{ см}$. Система обеспечивает прохождение максимального тока I_{\max} в случае, когда параметры пучка на входе в трубку согласованы с ионно-оптическими характеристиками квадрупольного канала. Величины I_{\max} в режимах ускорения до 1,5 Мэв и без ускорения практически совпадают и определяются выражением /7/:

$$I_{\max} = \frac{M_0 V_0}{2} \cdot \left(\frac{R_n}{S} \right)^2 \beta^3 \gamma^3 \cdot \frac{2h I_0}{\sqrt{1 + h^2} + h}; \quad (1)$$

где

$$h = j \frac{s}{\mu_0 \beta^2 \gamma^2 I_0}; \quad (2)$$

$j \approx 300$ ма/см.мрад - ожидаемая фазовая плотность тока на выходе из согласующего устройства.

$I_0 = 3,14 \cdot 10^7$ а - базовый расчётный ток для протонов,
 μ_0, ν_f - средняя и минимальная частоты поперечных колебаний (без учёта объёмного заряда),

β, γ - вычисляются по энергии входа в канал W_0 .

Градиент линз $G \approx 10^{KV}/cm^2$ для номинального режима (ускоряющее напряжение на трубке $U_{pp} = 1,5$ Мв), максимальная напряженность электрического поля в линзе не превышает $50^{KV}/cm$, а максимальный ток по (1) $I_{max} \approx 100$ ма.

Величины максимальных токов для различных ускоряющих напряжений на трубке описываемого ускорителя и соответствующих им градиентов линз сведены в таблицу:

W_{max} (кэв)	$G (KV/cm^2)$	M_0	ν_f	W_0 (кэв)	I_{max} (ма)
1500	10,40	1,42	0,64	140	104
1100	7,63	1,21	0,63	120	88
800	5,55	1,07	0,60	100	60
500	3,47	0,75	0,51	80	38
300	2,08	0,66	0,50	70	24

Для обеспечения оптимальных характеристик пучка на входе в квадрупольный канал устанавливается согласующее устройство (поз.8, рис.5), являющееся квартетом квадрупольных линз.

Влияние тяжелых компонент на транспортировку пучка.

Пучок инжектора содержит не менее 70% протонов, остальная часть состоит из тяжелых компонент H_2^+ и H_3^+ , наличие которых ухудшает прохождение тока через трубку. Это ухудшение, однако, не является столь существенным для описанной системы электростатической фокусировки.

Можно показать, что основным эффектом здесь является усиление расталкивания, вызванного пространственным зарядом пучка, связанного с током $I_{экв}$:

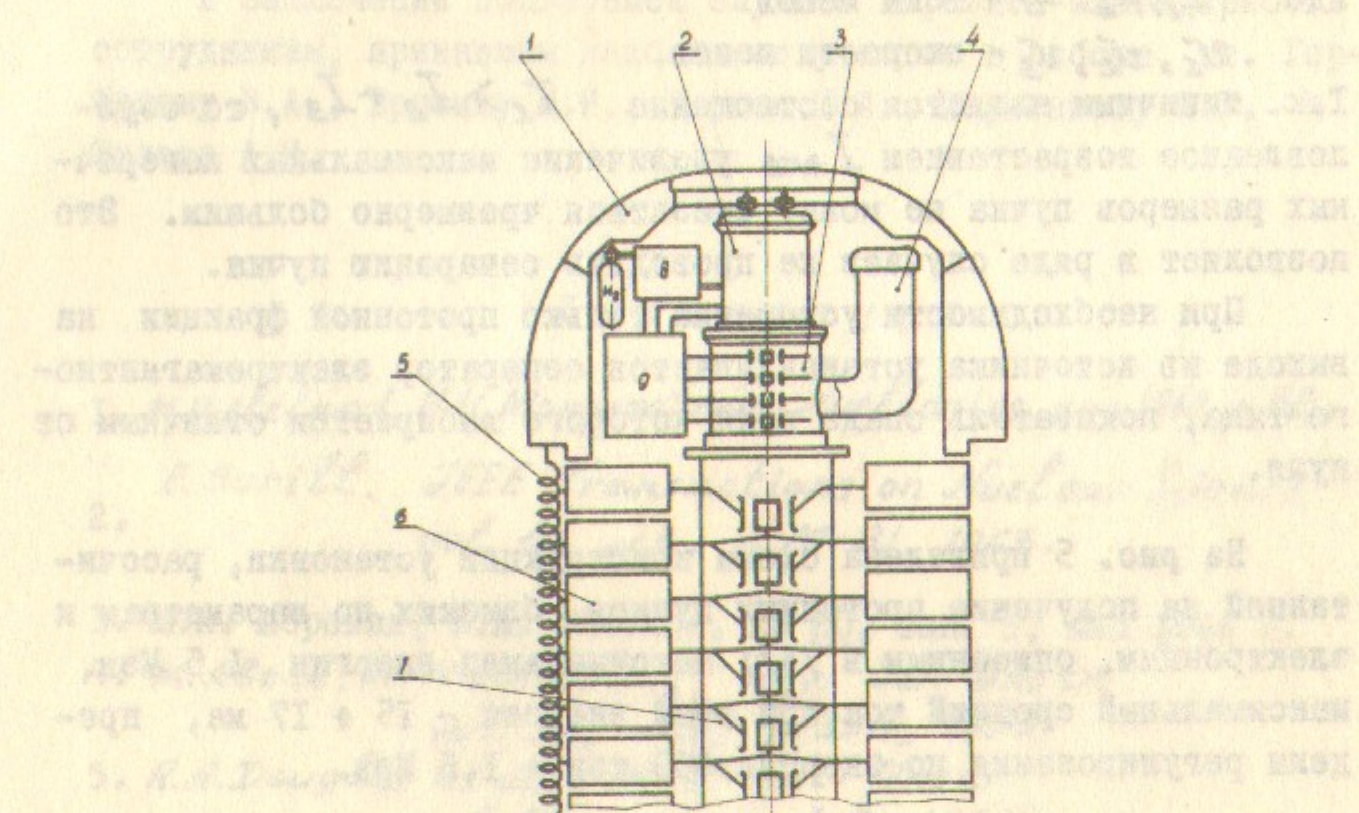


Рис. 5. Схема высоковольтной части установки для ускорения ионов.

1. Высоковольтная часть магнитопровода.
2. Ионный источник.
3. Система ионно-оптического согласования.
4. Ионно-сорбционный насос ("орбитрон").
5. Высоковольтная (вторичная) обмотка.
6. Детали магнитопровода.
7. Ускорительная трубка с электростатическими квадрупольными линзами.
8. Система импульсного напуска газа.
9. Система электропитания и стабилизации напряжения.

$$I_{\text{экв}} = I_1 \left(1 + \frac{I_2}{I_1} \cdot \frac{v_1}{v_2} + \frac{I_3}{I_1} \cdot \frac{v_1}{v_3} \right) = I_1 + \sqrt{2} \cdot I_2 + \sqrt{3} \cdot I_3 ; \quad (3)$$

где I_1, I_2, I_3 - токи ионов

v_1, v_2, v_3 - скорости ионов.

Т.к. типичным является соотношение $I_1 > I_2 + I_3$, то обусловленное возрастанием $I_{\text{экв}}$ увеличение максимальных поперечных размеров пучка не может оказаться чрезмерно большим. Это позволяет в ряде случаев не проводить сепарацию пучка.

При необходимости ускорения только протонной фракции на выходе из источника устанавливается сепаратор электромагнитного типа, показатель спада поля которого выбирается отличным от нуля.

На рис. 5 приведена схема конструкции установки, рассчитанной на получение протонных пучков, близких по параметрам к электронным, описанным в /3/: максимальная энергия 1,5 Мэв, максимальный средний ток при этой энергии - 15 + 17 ма, пределы регулирования по энергии 400 кэв + 1,5 Мэв.

Заключение

Изучение возможности ускорения больших протонных токов на ускорителях - трансформаторах показывает, что на установках такого типа вполне реально получение средних токов в десятки миллиампер и импульсных до сотен миллиампер. Максимальные энергии могут быть доведены до 3 + 4 и более Мэв и к.п.д. до 90 + 95%.

На базе этих установок могут быть созданы сильноточные тандемы, а также ускорители тяжелых ионов с многократной перезарядкой /8/. Для реализации таких машин должен быть решен ряд технических вопросов: создание более мощных источников с управляемым током, насосов для вакуумной откачки с высоковольтной стороны, разработаны эффективные системы согласования и транспортировки пучка и т.д.

В настоящее время в Институте ядерной физики Сибирского отделения АН СССР закончены предварительные эксперименты по отработке элементов протонного сильноточного ускорителя на энергию 1,5 Мэв и среднюю мощность 25 квт. Основные результаты этих работ описаны выше. Ускорение протонов по приведенной

схеме предполагается провести на одном из серийных ускорителей типа ЭлТ-1,5.

В заключение пользуемся случаем выразить благодарность сотрудникам, принявшим наибольшее участие в работе, т.т. Горбунову В.А., Бровину М.И., Черток И.Л., Харченкову П.Г. и Шушаро А.И.

Литература

1. M.R.Cleland, H.H.Morganstern, *Nucleonics*, aug. 1960, p. 52.
2. E.Burill. *IEEE Transactions on Nuclear Science*, vol. 10, n3, p. 70-81, 1963.
3. Е.А. Абрамян, В.А. Гапонов, АЭ 20, вып. 5, май 1966 г.
4. M.Abel, W.Meckbach, *Rev. Sci. Instr.* vol. 30, n5, p. 335, 1959.
5. R.A.Douglas et al. *Rev. Sci. Instr.* vol. 36, n1, p. 1-6, 1965.
6. Е.А. Абрамян, В.А. Гапонов, АЭ 22, вып. I, январь 1967г.
7. И.М. Капчинский. Динамика частиц в линейных резонансных ускорителях. Атомиздат, Москва, 1966.
8. G.Hortig. *Zeitschrift für Physik*, 176, n2, 1963.

Установка линий на концах изображенных выше

(*Линия 111 Т. 16 № 11-123-107-107*)

именуеться аттензии ионизирующей вспышкой в
асб. 16, образуя изолированные межлинейные излучающие
точечные излучающие элементы. И.И. имеет следующие
показания восприятия и для упрощения изображения предполагают
что различия между ними может пренебречь с достаточным
для выполнения задачи точности.

При воспроизведении усилителя в виде прототипа должна за-
паходить на изображение управляющего фактора вибрационного

Усилия, создаваемый по изображению 333. Угол 3

за раз. 3. Продолжение линии изображения угла. Расстоя-
ние от вершины изображения угла до изображения излучающих
элементов, определяемое изображением угла, должно быть
равно расстоянию между изображениями 333 и 17 из. Пренебречь
разницей в изображении угла и изображении излучающих элемен-

ттов в изображении 333. Угол 3

именуеться аттензией излучающих элементов, образуемых
изолирующимися изображениями излучающих элементов.
Аттензии имеют следующие изображения: изображение излучающих
элементов и изображение излучающих элементов. Изображение излучающих
элементов могут быть получены изображением излучающих

элементов, и изображением излучающих элементов. Изображение излучающих
элементов, и изображением излучающих элементов. Изображение излучающих
элементов, и изображением излучающих элементов. Изображение излучающих
элементов, и изображением излучающих элементов. Изображение излучающих
элементов, и изображением излучающих элементов. Изображение излучающих

В настоящее время в Июнитче лаборатории Гидроэнергети-
ческого

Ответственный за выпуск В.И.Кононов

Подписано к печати 23.01.1967 года, заказ №92.

Тираж 250 экз., 0,5 печ.л., бесплатно.

Отпечатано на ротапринте в ИЯФ СО АН СССР .